

В.М.ЗОЛОТАРЕВ, д-р техн. наук., ген. директор, ПАО «Завод Южкабель», Харьков;

В.П.КАРПУШЕНКО, канд. экон. наук, советник ген. директора, ПАО «Завод Южкабель», Харьков;

В.В.ЗОЛОТАРЕВ, нач. отдела, ПАО «Завод Южкабель», Харьков;

Ю.А.АНТОНЕЦ, канд. техн. наук, техн. директор, ПАО «Завод Южкабель», Харьков

А.А.НАУМЕНКО, канд. техн. наук, вед. специалист, ПАО «Завод Южкабель», Харьков

ТАНГЕНС УГЛА ДИЭЛЕКТРИЧЕСКИХ ПОТЕРЬ МНОГО- СЛОЙНЫХ СШИТЫХ ИЗОЛЯЦИОННЫХ КОНСТРУКЦИЙ

На основі математичної моделі стаціонарного електричного поля в багатошаровому неідеальному діелектрику визначений тангенс кута діелектричних втрат у багатошарових зшитих (вулканізованих) конструкціях силових кабелів і проводів.

On the basis of mathematical model of stationary electric field in multilayer non-ideal dielectric, the tangent of dielectric loss angle in multilayer crosslinked (vulcanized) structures of power cables and wires are detected.

На основе математической модели стационарного электрического поля в многослойном неидеальном диэлектрике определен тангенс угла диэлектрических потерь в многослойных сшитых (вулканизированных) конструкциях силовых кабелей и проводов.

Анализ публикаций. Задачи о распределении электрического поля в многослойном диэлектрике имеют важные практические приложения, прежде всего, при разработке многослойных конструкций сердечников кабелей с изоляцией из сшитого полиэтилена [1, 2]. В [3] решение дано для осесимметричной коаксиальной модели без учета активной проводимости в слоях. Решение нестационарной задачи для плоского конденсатора с двухслойным неидеальным диэлектриком приведено в [4]. Однако, ни одна из приведенных работ не позволяет получить решение задачи для многослойного неидеального диэлектрика, расположенного между коаксиальными проводящими цилиндрами, к которым приложено переменное напряжение низкой частоты для случая, когда электромагнитный процесс является стационарным, то есть в том случае, когда закончились все переходные процессы.

Постановка задачи. Воздействие переменного электрического поля на реальные диэлектрик помимо чисто реактивного тока, вызывает в нем и дополнительные токи, которые зависят от качества диэлектрика. К ним относятся:

- сквозной ток проводимости или ток утечки, обусловленный чисто активной проводимостью диэлектрика;

- ток и, соответственно, потери, обусловленные поляризацией молекул под действием переменного поля;
- адсорбционный ток, возникающий вследствие имеющихся микронеоднородностей структуры диэлектрика;
- эквивалентный ток, связанный с ионизационными потерями в газовых включениях различной формы.

Последние два тока очень слабо влияют на распределение напряженности поля в толще диэлектрика и при решении данной задачи ими можно пренебречь. Потери, обусловленные поляризацией молекул диэлектрика, теоретически учесть очень сложно; мы не будем их здесь учитывать, и ограничимся только током сквозной проводимости, вносящим основной вклад в общую картину процесса воздействия переменного электрического поля на кусочно-однородный несовершенный диэлектрик. Таким образом в такой постановке задача дает нижний предел для тангенса угла диэлектрических потерь.

Будем считать, что диэлектрик состоит из n кусочно-однородных областей $\Omega_1, \Omega_2, \dots, \Omega_i, \dots, \Omega_n$ ограниченных, соответственно, коаксиальными цилиндрами, имеющими радиусы $r_0 - r_1, r_1 - r_2, \dots, r_{i-1} - r_i, \dots, r_{n-1} - r_n$. Пусть в каждой области Ω_i однородный диэлектрик характеризуется относительной диэлектрической проницаемостью ϵ_i и удельной электропроводностью γ_i , а идеально проводящие электроды для возбуждения поля в диэлектрике имеют радиусы r_0 и r_n .

Система двух коаксиально расположенных цилиндров, между которыми находится многослойный неидеальный диэлектрик, представляет собой электрический конденсатор с n -слойной изоляцией. В силу того, что напряженность электрического поля не зависит от азимутального угла, потенциал на каждой из окружностей, имеющих радиус $r_0, r_1, r_2, \dots, r_n$ будет величиной постоянной. Это позволяет представить конденсатор с n -слойным диэлектриком в виде соединенных последовательно n конденсаторов, в каждом из которых его диэлектрик является однородным. В свою очередь в каждом элементарном конденсаторе несовершенный диэлектрик можно заменить последовательной или параллельной схемой замещения. Векторные диаграммы токов и напряжений для этих двух случаев приведены на рис. 1 и 2. Они наглядно показывают, что углы диэлектрических потерь $\delta_1, \delta_2, \dots, \delta_n$ слоев диэлектрика отличаются друг от друга и от общего угла потерь δ всего диэлектрика. Для того, чтобы в общем случае определить тангенс общего угла δ потерь всего диэлектрика необходимо вычислить активную I_a и реактивную I_p компоненты полного тока $\dot{I} = I_a + I_p$, протекающего через одну из обкладок этого конденсатора [5].

Тангенс угла потерь в общем случае цилиндрического n -слойного неидеального диэлектрика. Выбрав для определенности внешнюю обкладку и учитывая закон Ома в дифференциальной форме для комплексных величин

$$\dot{J}(r) = \dot{Y}(r)\dot{E}(r) \quad (1)$$

имеем

$$\dot{I} = \oint \dot{J}(r_n) dl = \oint \dot{Y}_n \dot{E}_n dl_n = 2\pi r_n \dot{Y}_n \dot{E}(r_n) \quad (2)$$

где, $\dot{E}(r_n)$, $\dot{J}(r_n)$ – соответственно, нормальная компонента электрической напряженности на внутренней поверхности внешнего электрода, имеющего радиус r_n ; dl – элемент длины линии, образующейся при сечении внешнего бесконечно тонкого электрода плоскостью, перпендикулярной оси выбранной цилиндрической системы координат; \dot{Y}_n – полная проводимость слоя диэлектрика с номером n .

Тогда, с учетом $\dot{E}(r)$ выражение для комплексного вектора полного тока \dot{I} , протекающего через конденсатор, имеет вид

$$\dot{I} = \frac{2\pi \dot{U}}{\frac{1}{\dot{Y}_1} \ln \frac{r_1}{r_0} + \frac{1}{\dot{Y}_2} \ln \frac{r_2}{r_1} + \dots + \frac{1}{\dot{Y}_n} \ln \frac{r_n}{r_{n-1}}}. \quad (3)$$

С другой стороны для конденсатора, образованного всем диэлектриком, справедливо соотношение

$$\dot{I} = \dot{Y} \dot{U}, \quad (4)$$

где, \dot{Y} – общая комплексная проводимость всего диэлектрика.

Сравнивая теперь между (3) и (4) получаем выражение для общей комплексной проводимости \dot{Y} для всего диэлектрика из n слоев

$$\dot{Y} = \frac{2\pi}{\frac{1}{\dot{Y}_1} \ln \frac{r_1}{r_0} + \frac{1}{\dot{Y}_2} \ln \frac{r_2}{r_1} + \dots + \frac{1}{\dot{Y}_n} \ln \frac{r_n}{r_{n-1}}}. \quad (5)$$

Активная I_a и реактивная I_p , составляющие полного тока I , будут равны, соответственно, действительной и мнимой частям комплексного выражения для полного тока \dot{I} .

$$I_a = \operatorname{Re}\{\dot{I}\}; \quad (6)$$

$$I_p = \operatorname{Im}\{\dot{I}\}, \quad (7)$$

а тангенс общего угла δ потерь всего диэлектрика теперь можно найти как обычно

$$\operatorname{tg} \delta = I_a / I_p. \quad (8)$$

Из (5) ... (8) видно, что полученное выражение для тангенса общего угла диэлектрических потерь, с одной стороны, учитывает диэлектрические проницаемости $\varepsilon_1, \varepsilon_2, \dots, \varepsilon_n$ и активные проводимости $\gamma_1, \gamma_2, \dots, \gamma_n$ в каждом слое, то есть свойства реальных применяемых материалов. С другой стороны, особенности взаимного коаксиального расположения слоев учтены набором коэффициентов $\ln(r_1/r_0), \ln(r_2/r_1), \dots, \ln(r_n/r_{n-1})$ характерных для цилиндрической геометрии.

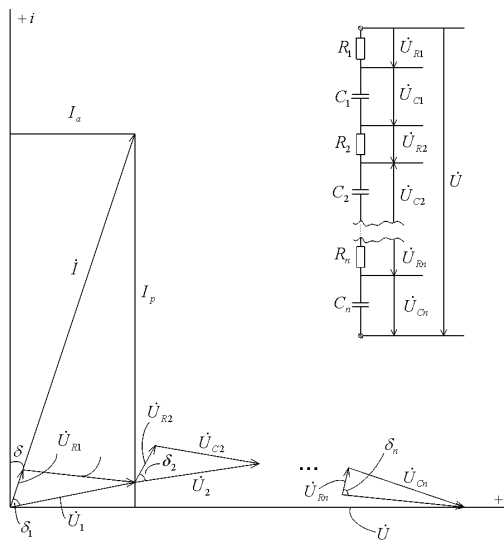


Рисунок 1 – Векторная диаграмма токов и напряжений для последовательной схемы замещения n -слойного неидеального диэлектрика

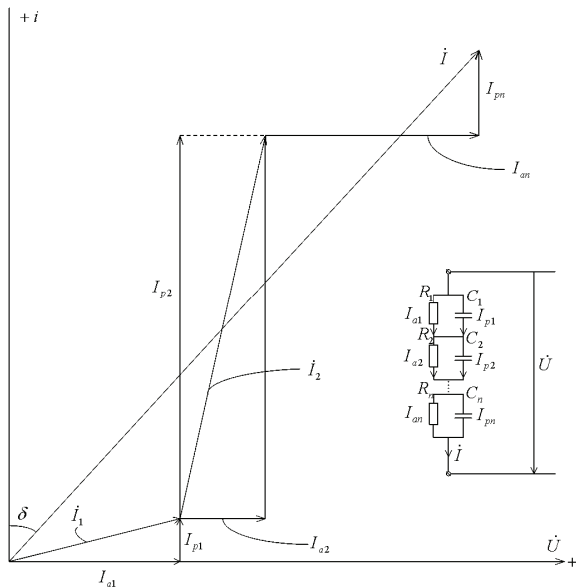


Рисунок 2 – Векторная диаграмма токов и напряжений для параллельной схемы замещения n -слойного неидеального диэлектрика

Далее, как видно из (5), в общем случае проводимость \dot{Y} диэлектрика с n слоями между двумя металлическими электродами радиусов r_0 и r_1 может быть представлена в виде

$$\dot{Y} = \frac{\prod_{k=1}^n \dot{Y}_k}{\dot{\beta}}, \quad (9)$$

где

$$\dot{\beta} = \prod_{m=1}^n \dot{Y}_m \sum_{k=1}^n \dot{Y}_k^{-1} \alpha_k; \quad (10)$$

$$\alpha_k = \frac{1}{2\pi} \ln \frac{r_k}{r_{k-1}}, \quad (11)$$

$$k = 1, 2, \dots, n; \quad m = 1, 2, \dots, n.$$

Здесь значком \prod обозначены произведения проводимостей \dot{Y}_k или \dot{Y}_m в слоях, номерам которых соответствуют значения индексов $k = 1, 2, \dots, n$ и $m = 1, 2, \dots, n$.

Чтобы избавиться от комплексного числа в знаменателе выражения для \dot{I} , представим последнее в виде

$$\dot{I} = \frac{\dot{U} \prod_{k=1}^n \dot{Y}_k \dot{\beta}^*}{\dot{\beta} \dot{\beta}^*}. \quad (12)$$

Звездочка означает комплексное сопряжение чисел $\dot{\beta}$ и $\dot{\beta}^*$.

Без ограничения общности фазу комплексного вектора \dot{U} всегда можно положить равной нулю. Тогда, учитывая (6) – (12) и то, что знаменатель (12) как произведение двух комплексно сопряженных чисел всегда будет числом действительным, можно сразу записать общее выражение для тангенса угла потерь δ всего n -слойного диэлектрика.

$$\operatorname{tg} \delta = \frac{I_a}{I_p} = \frac{R_e \left\{ \prod_{k=1}^n \dot{Y}_k \dot{\beta}^* \right\}}{I_m \left\{ \prod_{k=1}^n \dot{Y}_k \dot{\beta}^* \right\}}, \quad (13)$$

поскольку справедливы соотношения

$$I_a = R_e \left\{ \frac{2\pi \dot{U} \prod_{k=1}^n \dot{Y}_k \dot{\beta}^*}{\dot{\beta} \dot{\beta}^*} \right\} = \frac{U}{\dot{\beta} \dot{\beta}^*} R_e \left\{ \prod_{k=1}^n \dot{Y}_k \dot{\beta}^* \right\}; \quad (14)$$

$$I_p = \left\{ \frac{2\pi U \prod_{k=1}^n \dot{Y}_k \dot{\beta}^*}{\dot{\beta} \dot{\beta}^*} \right\} = \frac{U}{\dot{\beta} \dot{\beta}^*} I_m \left\{ \prod_{k=1}^n \dot{Y}_k \dot{\beta}^* \right\}. \quad (15)$$

Для того, чтобы оценить правильность решения поставленной здесь задачи проведем сравнение полученного результата с имеющимся в известной литературе. В [6] приводится решение такой задачи для частного случая определения тангенса угла потерь двух последовательно соединенных конденсаторов C_1 и C_2 , которые имеют утечку, то есть для случая, когда их диэлектрик в слоях является несовершенным. Таким образом, полученное выше общее решение (13) необходимо записать для случая двухслойного диэлектрика. Следуя этому, с учетом того, что $\dot{Y} = \gamma + i\omega\varepsilon$ и $n = 2$, из (9) – (11) имеем с учетом (7)

$$\dot{Y} = \frac{\dot{Y}_1 \dot{Y}_2}{\dot{\beta}} = \frac{2\pi \dot{Y}_1 \dot{Y}_2}{\dot{Y}_1 \dot{Y}_2 \left(\frac{1}{\dot{Y}_1} \ln \frac{r_1}{r_0} + \frac{1}{\dot{Y}_2} \ln \frac{r_2}{r_1} \right)} = \frac{2\pi \dot{Y}_1 \dot{Y}_2}{\dot{Y}_2 \ln \frac{r_1}{r_0} + \dot{Y}_1 \ln \frac{r_2}{r_1}}. \quad (16)$$

С учетом конкретных значений \dot{Y}_1 и \dot{Y}_2 имеем

$$\dot{Y} = \frac{(\gamma_1 + i\omega\varepsilon_1)(\gamma_2 + i\omega\varepsilon_2)}{\alpha_1(\gamma_2 + i\omega\varepsilon_2) + \alpha_2(\gamma_1 + i\omega\varepsilon_1)}, \quad (17)$$

здесь

$$\begin{aligned} \dot{\beta}^* &= \{\alpha_1\gamma_2 + i\omega\varepsilon_2\alpha_1 + \alpha_2\gamma_1 + i\omega\varepsilon_1\alpha_2\}^* = \\ &= \{(\alpha_1\gamma_2 + \alpha_2\gamma_1) + i\omega(\varepsilon_1\alpha_2 + \varepsilon_2\alpha_1)\}^* = \\ &= (\alpha_1\gamma_2 + \alpha_2\gamma_1) - i\omega(\varepsilon_1\alpha_2 + \varepsilon_2\alpha_1); \end{aligned} \quad (18)$$

$$\dot{Y}_1 \dot{Y}_2 = (\gamma_1 + i\omega\varepsilon_1)(\gamma_2 + i\omega\varepsilon_2) = [(\gamma_1\gamma_2 - \omega^2\varepsilon_1\varepsilon_2) + i\omega(\varepsilon_1\gamma_2 + \varepsilon_2\gamma_1)]; \quad (19)$$

$$\begin{aligned} \dot{Y}_1 \dot{Y}_2 \dot{\beta}^* &= [(\gamma_1\gamma_2 - \omega^2\varepsilon_1\varepsilon_2) + i\omega(\varepsilon_1\gamma_2 + \varepsilon_2\gamma_1)][(\alpha_1\gamma_2 + \alpha_2\gamma_1) - i\omega(\varepsilon_1\alpha_2 + \varepsilon_2\alpha_1)] = \\ &= [(\gamma_1\gamma_2 - \omega^2\varepsilon_1\varepsilon_2) + i\omega(\gamma_1\alpha_2 + \gamma_2\alpha_1) + \omega^2(\varepsilon_2\gamma_1 + \varepsilon_1\gamma_2)(\varepsilon_1\alpha_2 + \varepsilon_2\alpha_1)] + \\ &\quad + i\omega[(\varepsilon_2\gamma_1 + \varepsilon_1\gamma_2)(\gamma_1\alpha_2 + \gamma_2\alpha_1) - (\varepsilon_1\alpha_2 + \varepsilon_2\alpha_1)(\gamma_1\gamma_2 - \omega^2\varepsilon_1\varepsilon_2)]. \end{aligned} \quad (20)$$

Тогда тангенс угла потерь в двухслойном диэлектрике в соответствии с (13) будет равен

$$\begin{aligned} \operatorname{tg}\delta &= \frac{(\gamma_1\gamma_2 - \omega^2\varepsilon_1\varepsilon_2)(\gamma_1\alpha_2 + \gamma_2\alpha_1) + \omega^2(\varepsilon_2\gamma_1 + \varepsilon_1\gamma_2)(\varepsilon_1\alpha_2 + \varepsilon_2\alpha_1)}{\omega[(\varepsilon_2\gamma_1 + \varepsilon_1\gamma_2)(\gamma_1\alpha_2 + \gamma_2\alpha_1) - (\varepsilon_1\alpha_2 + \varepsilon_2\alpha_1)(\gamma_1\gamma_2 - \omega^2\varepsilon_1\varepsilon_2)]} = \\ &= \frac{\omega^2(\varepsilon_2^2\gamma_1\alpha_1 + \varepsilon_1^2\gamma_2\alpha_2) + \gamma_1\gamma_2(\gamma_1\alpha_2 + \gamma_2\alpha_1)}{\omega[\varepsilon_2\gamma_1^2\alpha_2 + \varepsilon_1\gamma_2^2\alpha_1 + \omega^2\varepsilon_1\varepsilon_2(\varepsilon_1\alpha_2 + \varepsilon_2\alpha_1)]}. \end{aligned} \quad (21)$$

Выражение (21) для $\operatorname{tg}\delta$ записано через удельные характеристики ε_1 , γ_1 и

ε_2 , γ_2 слоев диэлектрика. Для сравнения (21) с имеющимся результатом [6] следует, очевидно, перейти к сосредоточенным параметрам и рассматривать двухслойный диэлектрик как два последовательно соединенные коаксиальные конденсаторы с погонными емкостями [7].

$$C_1 = \frac{2\pi\varepsilon_1}{\ln r_1/r_0}; \quad (22)$$

$$C_2 = \frac{2\pi\varepsilon_2}{\ln r_2/r_1} \quad (23)$$

и общими проводимостями q_1 и q_2 коаксиальных слоев (на единицу их длины в цилиндрической геометрии)

$$q_1 = \frac{2\pi}{\ln \frac{r_1}{r_0}} \frac{1}{\rho_1} = \frac{2\pi\gamma_1}{\ln \frac{r_1}{r_0}}; \quad (24)$$

$$q_2 = \frac{2\pi}{\ln \frac{r_2}{r_1}} \frac{1}{\rho_2} = \frac{2\pi\gamma_2}{\ln \frac{r_2}{r_1}}, \quad (25)$$

где ρ_1 , ρ_2 – удельные объемные сопротивления первого и второго слоев диэлектрика, соответственно.

Выражения (24), (25) получены из следующих соображений.

Сопротивление dR элементарного цилиндра толщиной dr и средним радиусом r равно

$$dR \approx \rho \frac{dr}{2\pi r}.$$

Тогда интегрируя последнее выражение в пределах от начального значения радиуса слоя диэлектрика r_h до конечного значения радиуса этого слоя r_k получаем полное активное сопротивление выбранного слоя цилиндрического диэлектрика на единицу длины цилиндра

$$R = \frac{\rho}{2\pi} \int_{r_h}^{r_k} \frac{dr}{r} = \frac{\rho}{2\pi} \ln \frac{r_k}{r_h}.$$

Поделив окончательно числитель и знаменатель (21) на $\alpha_1^2 \alpha_2^2$ получаем

$$\operatorname{tg}\delta = \frac{\omega^2(c_1^2 q_2 + c_2^2 q_1) + q_1 q_2 (q_1 + q_2)}{w[c_1 q_2^2 + c_2 q_1^2 + \omega^2 c_1 c_2 (c_1 + c_2)]}. \quad (26)$$

Выражение (26) совпадает с выражением [6] для частного случая двухслойного несовершенного диэлектрика, что полностью подтверждает правильность полученного здесь теоретического решения поставленной задачи определения тангенса угла потерь для произвольного количества цилиндри-

ческих коаксиальных слоев неидеального диэлектрика, находящегося в стационарном электрическом поле.

Теоретическое значение тангенса угла диэлектрических потерь для трехслойной экструдированной изоляционной конструкции. Этот практически важный случай имеет место в силовых кабелях на напряжение 6...500 кВ, тогда в изоляционной конструкции есть экран по жиле из проводящего полиэтилена, собственно изоляция из высококачественного изоляционного полиэтилена и наложенный поверх него экран по изоляции также из проводящего полиэтилена.

Приняв здесь $n = 3$ по формулам (9), (10), (13) последовательно вычисляем

$$\dot{Y} = \frac{\prod_{k=1}^3 \dot{Y}_k}{\dot{\beta}} = \frac{\dot{Y}_1 \dot{Y}_2 \dot{Y}_3}{\dot{\beta}}, \quad (27)$$

$$\begin{aligned} \dot{\beta} &= \prod_{k=1}^3 \dot{Y}_k \sum_{k=1}^3 \dot{Y}_k^{-1} \alpha_k = \dot{Y}_1 \dot{Y}_2 \dot{Y}_3 \left(\frac{1}{\dot{Y}_1} \alpha_1 + \frac{1}{\dot{Y}_2} \alpha_2 + \frac{1}{\dot{Y}_3} \alpha_3 \right) = \\ &= \dot{Y}_2 \dot{Y}_3 \alpha_1 + \dot{Y}_1 \dot{Y}_3 \alpha_2 + \dot{Y}_1 \dot{Y}_2 \alpha_3; \end{aligned} \quad (28)$$

$$\begin{aligned} \dot{Y}_1 \dot{Y}_2 &= (\gamma_1 + i\omega \varepsilon_1)(\gamma_2 + i\omega \varepsilon_2) = \gamma_1 \gamma_2 + i\omega \varepsilon_2 \gamma_1 + i\omega \varepsilon_1 \gamma_2 - \omega^2 \varepsilon_1 \varepsilon_2 = \\ &= (\gamma_1 \gamma_2 - \omega^2 \varepsilon_1 \varepsilon_2) + i\omega(\varepsilon_2 \gamma_1 + \varepsilon_1 \gamma_2); \end{aligned} \quad (29)$$

$$\dot{Y}_1 \dot{Y}_3 = (\gamma_1 \gamma_3 - \omega^2 \varepsilon_1 \varepsilon_3) + i\omega(\varepsilon_3 \gamma_1 + \varepsilon_1 \gamma_3); \quad (30)$$

$$\dot{Y}_2 \dot{Y}_3 = (\gamma_2 \gamma_3 - \omega^2 \varepsilon_2 \varepsilon_3) + i\omega(\varepsilon_3 \gamma_2 + \varepsilon_2 \gamma_3); \quad (31)$$

$$\begin{aligned} \dot{Y}_1 \dot{Y}_2 \dot{Y}_3 &= (\gamma_1 + i\omega \varepsilon_1)(\gamma_2 + i\omega \varepsilon_2)(\gamma_3 + i\omega \varepsilon_3) = \\ &= [(\gamma_1 \gamma_2 - \omega^2 \varepsilon_1 \varepsilon_2) + i\omega(\varepsilon_2 \gamma_1 + \varepsilon_1 \gamma_2)](\gamma_3 + i\omega \varepsilon_3) = \\ &= (\gamma_1 \gamma_2 - \omega^2 \varepsilon_1 \varepsilon_2) \gamma_3 + i\omega \gamma_3 (\varepsilon_2 \gamma_1 + \varepsilon_1 \gamma_2) + \\ &+ i\omega \varepsilon_3 (\gamma_1 \gamma_2 - \omega^2 \varepsilon_1 \varepsilon_2) - \omega^2 (\varepsilon_2 \gamma_1 + \varepsilon_1 \gamma_2) \varepsilon_3 = \\ &= [(\gamma_1 \gamma_2 - \omega^2 \varepsilon_1 \varepsilon_2) \gamma_2 - \omega^2 (\varepsilon_2 \gamma_1 + \varepsilon_1 \gamma_2) \varepsilon_3] + \\ &+ i\omega [\gamma_3 (\varepsilon_2 \gamma_1 + \varepsilon_1 \gamma_2) + \varepsilon_3 (\gamma_1 \gamma_2 - \omega^2 \varepsilon_1 \varepsilon_2)]; \end{aligned} \quad (32)$$

$$\begin{aligned} \dot{\beta}^* &= [(\gamma_2 \gamma_3 - \omega^2 \varepsilon_2 \varepsilon_3) \alpha_1 + (\gamma_1 \gamma_3 - \omega^2 \varepsilon_1 \varepsilon_3) \alpha_2 + (\gamma_1 \gamma_2 - \omega^2 \varepsilon_1 \varepsilon_2) \alpha_3] - \\ &- i\omega[(\varepsilon_3 \gamma_2 + \varepsilon_2 \gamma_3) \alpha_1 + (\varepsilon_3 \gamma_1 + \varepsilon_1 \gamma_3) \alpha_2 + (\varepsilon_2 \gamma_1 + \varepsilon_1 \gamma_2) \alpha_3]; \end{aligned} \quad (33)$$

$$\begin{aligned}
\prod_{k=1}^3 Y_k \dot{\beta}^* &= \dot{Y}_1 \dot{Y}_2 \dot{Y}_3 \dot{\beta}^* = \\
&= \{[(\gamma_1 \gamma_2 - \omega^2 \epsilon_1 \epsilon_2) \gamma_3 - \omega^2 (\epsilon_1 \gamma_2 + \epsilon_2 \gamma_1) \cdot \epsilon_3] + \\
&\quad i\omega [\gamma_3 (\epsilon_2 \gamma_1 + \epsilon_1 \gamma_2) + \epsilon_3 (\gamma_1 \gamma_2 - \omega^2 \epsilon_1 \epsilon_2)]\} \cdot \\
&\quad \cdot \{[(\gamma_2 \gamma_3 - \omega^2 \epsilon_2 \epsilon_3) \alpha_1 + (\gamma_1 \gamma_3 - \omega^2 \epsilon_1 \epsilon_3) \alpha_2 + (\gamma_1 \gamma_2 - \omega^2 \epsilon_1 \epsilon_2) \alpha_3] - \\
&\quad - i\omega [(\epsilon_3 \gamma_2 + \epsilon_2 \gamma_3) \alpha_1 + (\epsilon_3 \gamma_1 + \epsilon_1 \gamma_3) \alpha_2 + (\epsilon_2 \gamma_1 + \epsilon_1 \gamma_2) \alpha_3]\};
\end{aligned} \tag{34}$$

$$\begin{aligned}
R_e \{\dot{Y}_1 \dot{Y}_2 \dot{Y}_3 \dot{\beta}^*\} &= [(\gamma_1 \gamma_2 - \omega^2 \epsilon_1 \epsilon_2) \cdot \gamma_3 - \omega^2 (\epsilon_2 \gamma_1 + \epsilon_1 \gamma_2) \epsilon_3] \cdot \\
&\quad \cdot [(\gamma_2 \gamma_3 - \omega^2 \epsilon_2 \epsilon_3) \alpha_1 + (\gamma_1 \gamma_3 - \omega^2 \epsilon_1 \epsilon_3) \alpha_2 + (\gamma_1 \gamma_2 - \omega^2 \epsilon_1 \epsilon_2) \alpha_3] + \\
&\quad + \omega^2 [\gamma_3 (\epsilon_2 \gamma_1 + \epsilon_1 \gamma_2) + \epsilon_3 (\gamma_1 \gamma_2 - \omega^2 \epsilon_1 \epsilon_2)] \cdot \\
&\quad \cdot [(\epsilon_3 \gamma_2 + \epsilon_2 \gamma_3) \alpha_1 + (\epsilon_3 \gamma_1 + \epsilon_1 \gamma_3) \alpha_2 + (\epsilon_2 \gamma_1 + \epsilon_1 \gamma_2) \alpha_3];
\end{aligned} \tag{35}$$

$$\begin{aligned}
I_m \{\dot{Y}_1 \dot{Y}_2 \dot{Y}_3 \dot{\beta}^*\} &= [(\gamma_1 \gamma_2 - \omega^2 \epsilon_1 \epsilon_2) \cdot \gamma_3 - \omega^2 (\epsilon_2 \gamma_1 + \epsilon_1 \gamma_2) \epsilon_3] \cdot \\
&\quad \cdot (-\omega)[(\epsilon_3 \gamma_2 + \epsilon_2 \gamma_3) \alpha_1 + (\epsilon_3 \gamma_1 + \epsilon_1 \gamma_3) \alpha_2 + (\epsilon_2 \gamma_1 + \epsilon_1 \gamma_2) \alpha_3] + \\
&\quad + \omega[\gamma_3 (\epsilon_2 \gamma_1 + \epsilon_1 \gamma_2) + \epsilon_3 (\gamma_1 \gamma_2 - \omega^2 \epsilon_1 \epsilon_2)] \cdot \\
&\quad \cdot [(\gamma_2 \gamma_3 - \omega^2 \epsilon_2 \epsilon_3) \alpha_1 + (\gamma_1 \gamma_3 - \omega^2 \epsilon_1 \epsilon_3) \alpha_2 + (\gamma_1 \gamma_2 - \omega^2 \epsilon_1 \epsilon_2) \alpha_3].
\end{aligned} \tag{36}$$

После чего получаем теоретическое значение тангенса угла диэлектрических потерь для трехслойной изоляционной конструкции

$$\begin{aligned}
\tg \delta &= \frac{[(\gamma_1 \gamma_2 - \omega^2 \epsilon_1 \epsilon_2) \cdot \gamma_3 - \omega^2 (\epsilon_2 \gamma_1 + \epsilon_1 \gamma_2) \epsilon_3] \cdot}{[(\gamma_1 \gamma_2 - \omega^2 \epsilon_1 \epsilon_2) \cdot \gamma_3 - \omega^2 (\epsilon_2 \gamma_1 + \epsilon_1 \gamma_2) \epsilon_3]} \times \\
&\quad \times \frac{\cdot [(\gamma_2 \gamma_3 - \omega^2 \epsilon_2 \epsilon_3) \alpha_1 + (\gamma_1 \gamma_3 - \omega^2 \epsilon_1 \epsilon_3) \alpha_2 + (\gamma_1 \gamma_2 - \omega^2 \epsilon_1 \epsilon_2) \alpha_3] +}{\cdot (-\omega)[(\epsilon_3 \gamma_2 + \epsilon_2 \gamma_3) \alpha_1 + (\epsilon_3 \gamma_1 + \epsilon_1 \gamma_3) \alpha_2 + (\epsilon_2 \gamma_1 + \epsilon_1 \gamma_2) \alpha_3] +} \\
&\quad \times \frac{+ \omega^2 [\gamma_3 (\epsilon_2 \gamma_1 + \epsilon_1 \gamma_2) + \epsilon_3 (\gamma_1 \gamma_2 - \omega^2 \epsilon_1 \epsilon_2)] \cdot}{+ \omega[\gamma_3 (\epsilon_2 \gamma_1 + \epsilon_1 \gamma_2) + \epsilon_3 (\gamma_1 \gamma_2 - \omega^2 \epsilon_1 \epsilon_2)] \cdot} \\
&\quad \times \frac{\cdot [(\epsilon_3 \gamma_2 + \epsilon_2 \gamma_3) \alpha_1 + (\epsilon_3 \gamma_1 + \epsilon_1 \gamma_3) \alpha_2 + (\epsilon_2 \gamma_1 + \epsilon_1 \gamma_2) \alpha_3]}{\cdot [(\gamma_2 \gamma_1 - \omega^2 \epsilon_2 \epsilon_3) \alpha_1 + (\gamma_1 \gamma_3 - \omega^2 \epsilon_1 \epsilon_3) \alpha_2 + (\gamma_1 \gamma_2 - \omega^2 \epsilon_1 \epsilon_2) \alpha_3]}.
\end{aligned} \tag{37}$$

Последнее выражение хотя и является достаточно сложным, но содержит все необходимые параметры, зависящие от материала диэлектрика во всех трех слоях (γ_k, ϵ_k) и коэффициенты α_k , зависящие от цилиндрической геометрии, рассматриваемой изоляционной конструкции.

Выводы

- На основе математической модели воздействия стационарного электрического поля на несовершенный многослойный цилиндрический диэлектрик получены общие выражения для тангенса угла диэлектрических потерь при произвольном числе слоев с учетом тока сме-

- щения и тока проводимости.
2. Получены выражения для тангенса угла диэлектрических потерь для частных случаев двухслойного и трехслойного диэлектриков, характерных для изоляции силовых кабелей и проводов со сшитой полиэтиленовой изоляцией.

Список литературы: 1. Патент на корисну модель № 39644, Україна. Потужний високовольтний кабель. МПК Н01 В 7/02 / Золотарьов В.М., Карпушенко В.П., Антонець Ю.П., Золотарьов В.В., Чопов Є.Ю., Обозній А.Л., Науменко О.А., Чайка В.Д. – Заявник і патентовласник ЗАТ завод «Південкабель», заявлено 01.08.08, опубліковано 10.03.09., бюл. № 5. 2. Патент на корисну модель № 39645, Україна. Високовольтний кабель з волоконно-оптичним термодатчиком. МПК Н01 В 7/02 / Золотарьов В.М., Карпушенко В.П., Антонець Ю.П., Золотарьов В.В., Чопов Є.Ю., Обозній А.Л., Науменко О.А., Чайка В.Д. – Заявник і патентовласник ЗАТ завод «Південкабель», заявлено 01.08.08, опубліковано 10.03.09., бюл. № 5. 3. Рудаков В.В., Рудаков С.В. Оптимизация конструкции коаксиального кабеля с многослойным диэлектриком // Электротехника и электромеханика. – 2004. - № 4. – С. 70-73. 4. Сканави Г. И. Физика диэлектриков (область сильных полей). – М.: ГИТГЛ, 1949. – 497 с. 5. Золотарев В.В., Карпушенко В.П., Золотарев В.М., Науменко А.А. Распределение стационарного электрического поля в цилиндрическом неидеальном диэлектрике // Электротехника и электромеханика. – Харків: НТУ «ХПІ», 2008. – С. 65-69. 6. Сиротинский Л.И. и др. Техника высоких напряжений. – М-Л.: Госэнергоиздат, 1940. – 247 с. 7. Иоссель Ю.Я., Кочанов Э.С., Струнский М.Г. Расчет электрической емкости. – Л.: Энергия, 1969. – 239 с.

Поступила в редакцию 07.10.2011